

# Об эффекте Холла в двумерном дopedированном антиферромагнетике

А. М. Белемук, А. Ф. Барабанов, Л. А. Максимов\*

Институт физики высоких давлений им. Л. Ф. Верещагина РАН  
142190 Троицк, Московская обл., Россия

\*Российский научный центр “Курчатовский институт”, 123182 Москва, Россия

Поступила в редакцию 20 января 2004 г.

Рассмотрены проводимость и коэффициент Холла в нормальном состоянии двумерного dopedированного антиферромагнетика в модели решетки Кондо в многомоментном приближении. Найденная аномальная температурная зависимость кинетических коэффициентов определяется сильным анизотропным рассеянием носителей на спиновой подсистеме и качественно согласуется с экспериментальными данными для нормального состояния высокотемпературных сверхпроводников.

PACS: 71.38.+i, 74.20.Mn, 75.30.Mb, 75.50.Ee

Общепринято, что основным ключом в понимании необычных кинетических свойств нормально-го состояния высокотемпературных сверхпроводников (ВТСП) являются свойства носителей в плоскостях  $\text{CuO}_2$ , которые являются почти идеальным аналогом двумерного dopedированного антиферромагнетика.

В ВТСП электросопротивление  $\rho$  демонстрирует линейный рост по температуре в широком диапазоне, начиная почти с температуры сверхпроводящего перехода  $T_c$ , которая значительно ниже температуры Дебая  $\theta_D$  [1–4]. При исследовании коэффициента Холла  $R_H$  помимо сильной температурной зависимости наблюдается нетривиальная зависимость от dopedирования [1–6].

Транспортным свойствам ВТСП посвящено большое количество теоретических исследований. Однако существует сравнительно мало теоретических работ, где одновременно исследуются температурная зависимость электросопротивления и коэффициента Холла, и при этом в большинстве из них рассмотрение носит сугубо феноменологический характер. Отметим широко используемый подход, основанный на почти антиферромагнитной (АФМ) ферми-жидкости (ФЖ) [7], в котором сильная анизотропия рассеяния фермievских носителей на спиновой подсистеме естественно приводит к модели “холодных” и “горячих” точек на поверхности Ферми (ФП) [7–10].

Наше рассмотрение  $\rho(T)$  и  $R_H(T)$  также проводится в рамках подхода АФМ ферми-жидкости, спектр которой отвечает нижней спин-поляронной зоне. Известно, что зарядовая динамика носителей в плоскостях  $\text{CuO}_2$  хорошо описывается трехзонной моделью Эмери [11–13]. В частности, расчет спектра элементарных возбуждений на основе спинового

полярона приводит в широкой области dopedирования к спектру, наблюдаемому в экспериментах по фототеммисии, с угловым разрешением (ARPES) [14]. Так, например, в недопированном режиме наблюдается остаточная ФП, при увеличении dopedирования происходит открытие псевдощели на ФП, а в режиме оптимального dopedирования наблюдается большая ФП с центром в  $(\pi, \pi)$ . Качественно те же особенности воспроизводят и расчет на основе однозонной модели Кондо, которая более проста при теоретическом рассмотрении.

Поэтому ниже в качестве гамильтониана плоскости  $\text{CuO}_2$  используется модель регулярной решетки Кондо. Спектр носителей берется из расчета нижней полярной зоны [14, 15] в отличие от большинства исследований, где спектр выбирается на основании параметризации ФП, даваемой ARPES измерениями. Другое отличие заключается в том, что спиновая подсистема, представляющая собой двумерный фрустрированный антиферромагнетик, трактуется в самосогласованном сферически-симметричном приближении [16]. Отметим, что в предыдущих исследованиях, претендующих на микроскопическое описание кинетических коэффициентов, обычно использовалась феноменологическая спиновая восприимчивость, отвечающая сильно затухающим (overdamped) парамагнонам [7, 8]. При нахождении кинетических коэффициентов мы используем многомоментный подход решения кинетического уравнения, который позволяет одновременно проанализировать поведение неравновесных функций распределения от температуры в задачах электросопротивления и эффекта Холла и который является альтернативным модели с многими группами (multi-patch) носителей [10].

Гамильтониан регулярной квадратной решетки Кондо имеет вид

$$\begin{aligned}\hat{H} &= \hat{H}_0 + \hat{H}_1, \quad \hat{H}_0 = \hat{H}_h + \hat{I}, \\ \hat{H}_h &= \sum_{\mathbf{k}, \sigma} \varepsilon_{\mathbf{k}} a_{\mathbf{k}\sigma}^\dagger a_{\mathbf{k}\sigma}, \\ \hat{I} &= \frac{1}{2} I_1 \sum_{\mathbf{R}, \mathbf{g}} S_{\mathbf{R}+\mathbf{g}}^\alpha S_{\mathbf{R}}^\alpha + \frac{1}{2} I_2 \sum_{\mathbf{R}, \mathbf{d}} S_{\mathbf{R}+\mathbf{d}}^\alpha S_{\mathbf{R}}^\alpha.\end{aligned}\quad (1)$$

Здесь  $\hat{H}_h$  и  $\hat{I}$  описывают движение носителей (дырок) и подсистему локализованных спинов,  $\mathbf{g}$  и  $\mathbf{d}$  – векторы первых и вторых ближайших соседей. Обменный гамильтониан  $\hat{I}$  ответственен за АФМ взаимодействие между спинами,  $p$  ( $0 \leq p \leq 1$ ) – параметр фruстации,  $I_1 = (1-p)I$  и  $I_2 = pI$  – константы обменного взаимодействия для первых и вторых ближайших соседей.

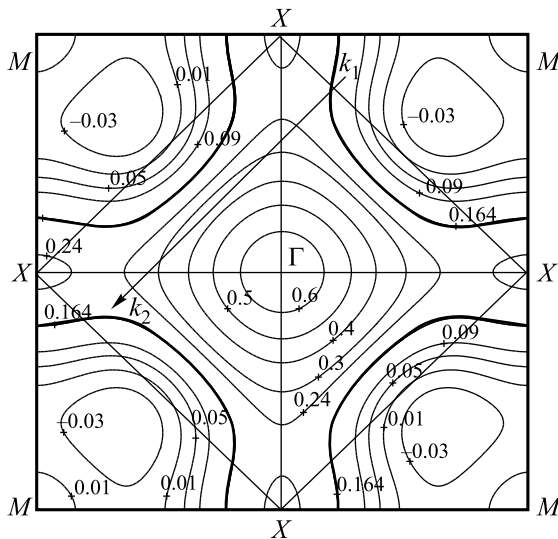


Рис.1. Спектр носителей (в эВ) представлен уровнями постоянной энергии  $\varepsilon_{\mathbf{k}} = \text{const}$ , жирным шрифтом выделен уровень  $\varepsilon_{\mathbf{k}} = 1.64$ , отвечающий ФП в оптимально допированных соединениях. Стрелкой указано рассеяние в “горячих” точках на АФМ вектор  $\mathbf{Q} = (\pi, \pi)$  из состояния  $\mathbf{k}_1$  под ФП в состояние  $\mathbf{k}_2$  над ФП

Спектр дырок  $\varepsilon_{\mathbf{k}}$  мы задаем гармониками квадратной симметрии  $\gamma_g(\mathbf{k}) = (\cos(k_x) + \cos(k_y))/2$ ,  $\gamma_d(\mathbf{k}) = \cos(k_x)\cos(k_y)$  (см. рис.1):

$$\begin{aligned}\varepsilon_{\mathbf{k}} &= \tau(a_1 \gamma_g(\mathbf{k}) + a_2 \gamma_g^2(\mathbf{k}) + \\ &+ a_3 \gamma_d(\mathbf{k}) + a_4 \gamma_d^2(\mathbf{k}) + a_5 \gamma_g(\mathbf{k}) \gamma_d(\mathbf{k})),\end{aligned}\quad (2)$$

$$a_1 = 1.5, \quad a_2 = 3.0, \quad a_3 = -1.25, \quad a_4 = 0.0, \quad a_5 = 0.1. \quad (3)$$

Слагаемое  $\hat{H}_1$  есть сумма внутриузельного обмена  $\hat{J}$  и взаимодействия с внешним полем  $\hat{H}_f$ :

$$\begin{aligned}\hat{J} &= J \frac{1}{\sqrt{N}} \sum_{\mathbf{k}, \mathbf{q}, \gamma_1, \gamma_2} a_{\mathbf{k}+\mathbf{q}, \gamma_1}^\dagger S_{\mathbf{q}}^\alpha \hat{\sigma}_{\gamma_1 \gamma_2}^\alpha a_{\mathbf{k} \gamma_2}, \\ \mathbf{S}_{\mathbf{q}} &= \frac{1}{\sqrt{N}} \sum_{\mathbf{q}} e^{-i\mathbf{q}\mathbf{R}} \mathbf{S}_{\mathbf{R}},\end{aligned}$$

где  $\hat{\sigma}^\alpha$  – матрицы Паули (по повторяющимся декартовым индексам а подразумевается суммирование). Взаимодействие  $\hat{H}_f$  с внешним однородным электрическим полем  $\mathbf{E}$  и магнитным полем  $\mathbf{H}$  (которое перпендикулярно плоскости  $\text{CuO}_2$ ) описывается через оператор поляризации носителей.

Спиновая подсистема рассматривается в сферически-симметричном приближении [16]. В этом приближении спиновые возбуждения состоят из трех вырожденных ветвей, даваемых двухвременной запаздывающей функцией Грина  $\langle\langle S_{\mathbf{q}}^\alpha | S_{-\mathbf{q}}^\alpha \rangle\rangle_\omega = A_{\mathbf{q}} / (\omega^2 - \omega_{\mathbf{q}}^2)$ , где числитель  $A_{\mathbf{q}}$  и спектр спиновых возбуждений  $\omega_{\mathbf{q}}$  вычисляются самосогласованным образом. Спектр  $\omega_{\mathbf{q}}$  и  $A_{\mathbf{q}}$  зависят от параметра фрустации  $p$  и конечного числа спин-спиновых корреляционных функций  $C_{\mathbf{r}} = \langle \mathbf{S}_{\mathbf{R}} \mathbf{S}_{\mathbf{R}+\mathbf{r}} \rangle$  и имеют вид

$$\begin{aligned}A_{\mathbf{q}} &= -8(I_1(1 - \gamma_g(\mathbf{q}))C_g + I_2(1 - \gamma_d(\mathbf{q}))C_d), \\ \omega_{\mathbf{q}} &= I \left( \frac{8}{3} ((1 - \gamma_g)(B_1 + (1 + \gamma_g)B_2) + \right. \\ &\left. + (1 - \gamma_g)(B_3 + (1 + \gamma_d)B_4) + \gamma_g(1 - \gamma_d)B_5) \right)^{1/2},\end{aligned}\quad (4)$$

Параметры спектра  $B_i$  зависят от температуры через  $C_{\mathbf{g}}, C_{2\mathbf{g}}, C_{\mathbf{d}}, C_{\mathbf{g}+\mathbf{d}}, C_{2\mathbf{d}}$ . Функции  $A_{\mathbf{q}}$  и  $\omega_{\mathbf{q}}$  стремятся к нулю при  $\mathbf{q} \rightarrow 0$ . В пределе  $\mathbf{q} \rightarrow \mathbf{Q}$  числитель  $A_{\mathbf{q}}$  стремится к положительной константе  $A_{\mathbf{Q}}$ , а спектр спиновых волн  $\omega_{\mathbf{q}}^2 \approx \Delta^2 + c^2(\mathbf{q} - \mathbf{Q})^2$  отделен от нуля щелью  $\Delta \equiv \omega_{\mathbf{Q}}$ , которая возрастает с возрастанием температуры. При  $T \rightarrow 0$  величина щели стремится к конечному пределу, который определяется параметром фрустации  $p$ . Общепринято, что величина  $p$  растет с увеличением допирования  $n_h$ . Имея в виду, что мы будем рассматривать случай допирования, близкого к оптимальному ( $n_h \approx 0.15$ ), мы выбираем  $p = 0.1$  [14].

Отметим, что спин-спиновая корреляционная функция  $C_{\mathbf{q}} = \langle S_{-\mathbf{q}}^\alpha S_{\mathbf{q}}^\alpha \rangle$  имеет резкий пик при  $\mathbf{q} = \mathbf{Q}$ , что отвечает сильной зависимости рассеяния носителей от резонансной структуры спектра спиновых флуктуаций.

Ниже, чтобы учесть анизотропию рассеяния, которая в нашем случае возникает из-за сильного рассеяния на вектор  $\mathbf{Q}$ , используется многомоментный подход решения уравнения движения матрицы плотности, разработанный для описания низкотемпературного поведения коэффициентов  $\rho(T)$  и  $R_H(T)$  в поливалентных металлах при рассеянии на фононах [17, 18], когда из-за процессов переброса возрастает анизотропия рассеяния.

В стационарном случае отклонение от равновесия можно задавать, используя матрицу плотности. Наиболее общий вид этой матрицы  $\hat{\rho}^0 = \hat{\rho}^{00}(1 + \hat{F})$ ,  $\hat{\rho}^{00} = Z^{-1} \exp(-\hat{H}_0/T)$ ,  $Z = \text{Sp}\{\hat{H}_0\}$ ,  $\langle \hat{F} \rangle \equiv \{\hat{\rho}^{00}\hat{F}\} = 0$ .

Для расчета одночастичной функции распределения  $f_{\mathbf{k}} = \text{Sp}\{\hat{\rho}^0 a_{\mathbf{k}\sigma}^\dagger a_{\mathbf{k}\sigma}\}$ , а именно она определяет транспортные коэффициенты, оператор  $\hat{F}$  можно выбрать одночастичным, то есть представить в виде  $\hat{F} = \sum_{\mathbf{k},\sigma} F(\mathbf{k}) a_{\mathbf{k}\sigma}^\dagger a_{\mathbf{k}\sigma}$ . В этом случае  $f_{\mathbf{k}}$  можно записать как  $f_{\mathbf{k}} = f_{\mathbf{k}}^0 + g_{\mathbf{k}}$ ,  $f_{\mathbf{k}}^0 = (1 + \exp(\varepsilon_{\mathbf{k}} - \mu)/T)^{-1}$ ,  $g_{\mathbf{k}} = T(-\partial f^0/\partial \varepsilon_{\mathbf{k}})F(\mathbf{k})$ , где  $\mu$  – химический потенциал.

Мы ищем  $\hat{F}$  в виде линейной суперпозиции набора моментов – операторов  $\hat{F}_l$ :  $\hat{F} = \sum_l \eta_l \hat{F}_l$ ,  $\hat{F}_l = \sum_{\mathbf{k},\sigma} F_l(\mathbf{k}) a_{\mathbf{k}\sigma}^\dagger a_{\mathbf{k}\sigma}$ .

Решение уравнения эволюции для матрицы плотности в рамках линейного отклика приводит в задаче электросопротивления к системе уравнений

$$X_l = \sum_{l'} P_{ll'} \eta_l^E, \quad X_l = \frac{1}{N} \sum_{\mathbf{k}} F_l(\mathbf{k}) e \mathbf{E} \mathbf{v}_{\mathbf{k}} (-\partial f^0 / \partial \varepsilon_{\mathbf{k}}), \\ \mathbf{v}_{\mathbf{k}} = \hbar^{-1} \nabla_{\mathbf{k}} \varepsilon_{\mathbf{k}}. \quad (5)$$

$$P_{ll'} = \frac{\pi}{\hbar} J^2 \frac{1}{N^2} \sum_{\mathbf{k}, \mathbf{q}} \frac{A_{\mathbf{q}}}{\hbar \omega_{\mathbf{q}}} (F_l(\mathbf{k}) - F_l(\mathbf{k} + \mathbf{q})) \times \\ \times (F_{l'}(\mathbf{k}) - F_{l'}(\mathbf{k} + \mathbf{q})) f_{\mathbf{k}}^0 (1 - f_{\mathbf{k}+\mathbf{q}}^0) \times \\ \times n_B(\hbar \omega_{\mathbf{q}}) \delta(\varepsilon_{\mathbf{k}+\mathbf{q}} - \varepsilon_{\mathbf{k}} - \hbar \omega_{\mathbf{k}}).$$

Система (5) эквивалентна линеаризованному уравнению Больцмана, если  $\{\hat{F}_l\}$  – полный набор операторов, коммутирующих с  $\hat{H}_0$ . Ясно, что мы должны ограничиться некоторым конечным числом  $l_0$  моментов  $\hat{F}_l$ , которое выбирается из условия корректного учета анизотропии рассеяния и формы поверхности Ферми.

Обычная практика при решении уравнения Больцмана – использовать приближение времени релаксации, которое эквивалентно одномоментному приближению (ОМП),  $\hat{F} = \eta_1^E \hat{F}_1^E$ ;  $F_1^E(\mathbf{k}) = \mathbf{n} \mathbf{v}_{\mathbf{k}}$ ;  $g_{\mathbf{k}}^{(1),E} = \tau e \mathbf{E} \mathbf{v}_{\mathbf{k}} (-\partial f^0 / \partial \varepsilon_{\mathbf{k}})$ ;  $\eta_1^E = \tau e E / T$ ,  $\mathbf{n}$  – единичный вектор в направлении приложенного электрического поля, которое считаем направленным по оси  $X$ .

Далее мы ограничиваемся случаем двух моментов  $l_0 = 2$ , что позволит ввести классификацию различных участков зоны Бриллюэна (“горячие” и “холодные” точки). В этом двухмоментном приближении (ДМП) моменты  $F_1^E(\mathbf{k})$ ,  $F_2^E(\mathbf{k})$  и неравновесную функцию распределения  $g_{\mathbf{k}}^{(2),E}$  мы выбираем в виде

$$g_{\mathbf{k}}^{(2),E} = T(\eta_1^E F_1^E(\mathbf{k}) + \eta_2^E F_2^E(\mathbf{k}))(-\partial f^0 / \partial \varepsilon_{\mathbf{k}}); \\ F_1^E(\mathbf{k}) = \mathbf{n} \mathbf{v}_{\mathbf{k}}, \quad F_2^E(\mathbf{k}) = (\mathbf{n} \mathbf{v}_{\mathbf{k}})^3. \quad (6)$$

Коэффициенты  $\eta_1^E$  и  $\eta_2^E$  находятся из системы уравнений (5). Плотность тока  $j^\alpha = \sigma^{\alpha\beta} E^\beta$ ,  $j^\alpha = \frac{1}{V} \sum_{\mathbf{k},\sigma} e v_{\mathbf{k}}^\alpha g_{\mathbf{k}}^E$  определяет тензор проводимости  $\sigma^{\alpha\beta}$  и тензор сопротивления  $\rho_{\alpha\beta} = \sigma_{\alpha\beta}^{-1}$ . При наличии квадратной симметрии  $\rho = \rho_{xx} = \rho_{yy}$ .

Найденная поправка  $g_{\mathbf{k}}^E = T \sum_l \eta_l^E F_l^E(\mathbf{k}) \times (-\partial f^0 / \partial \varepsilon_{\mathbf{k}})$  используется на втором шаге при решении системы уравнений в магнитном поле. Поправка к равновесной функции распределения  $g_{\mathbf{k}}^H = T \sum_l \eta_l^H F_l^H(\mathbf{k}) (-\partial f^0 / \partial \varepsilon_{\mathbf{k}})$ , обусловленная наличием магнитного поля, направленного по оси  $Z$ , определяется системой уравнений “вдоль оси  $Y$ ”:

$$X_l^y + X_l^H = \sum_{l'} P_{ll'} \eta_l^H, \\ X_l^y = \frac{1}{N} \sum_{\mathbf{k}} F_l^H(\mathbf{k}) e E^y v_{\mathbf{k}}^y (-\partial f^0 / \partial \varepsilon_{\mathbf{k}}), \\ X_l^H = \frac{1}{N} \sum_{\mathbf{k}} F_l^H(\mathbf{k}) X_{\mathbf{k}}^H, \\ X_{\mathbf{k}}^H = -\frac{e}{c\hbar} (\mathbf{v}_{\mathbf{k}} \times \mathbf{H}) \partial g_{\mathbf{k}}^E / \partial \mathbf{k}, \\ F_1^H(\mathbf{k}) = v_{\mathbf{k}}^y, \quad F_2^H(\mathbf{k}) = (v_{\mathbf{k}}^y)^3. \quad (8)$$

Для определения коэффициента Холла  $R_H$  и коэффициентов  $\eta_l^H$  имеется еще два уравнения, одно из которых отвечает отсутствию тока в направлении оси  $Y$ :  $j^y = \sum_{\mathbf{k},\sigma} e v_{\mathbf{k}}^y g_{\mathbf{k}}^y = 0$ ,  $E^y = R_H j^x H^z$ .

Вычисление электросопротивления  $\rho(T)$  и коэффициента Холла  $R_H(T)$  проводилось для дырочного спектра  $\varepsilon_{\mathbf{k}}$ , даваемого уравнением (3), с параметром  $\tau = 0.2$  эВ. Спектр и ФП, отвечающая додированию  $n_h = 0.15$ , приведены на рис.1. Для магнитного спектра, определяемого уравнением (4), выбирались значения параметра фruстрации  $p = 0.1$  и обменного взаимодействия  $I = 0.7\tau$ . Такой выбор отвечает реалистической величине спин-спинового обменного взаимодействия  $I \sim 1500$  К в плоскости CuO<sub>2</sub> и характерной дырочной дисперсии  $\varepsilon(0,0) - \varepsilon_F \sim 0.5$  эВ для оптимально додированных ВТСП, которая хорошо измеряется в ARPES экспериментах. Отметим,

что выбранный нами спектр близок к спектру нижней спин-поляронной зоны при оптимальном допировании. В большинстве работ, посвященных вычислениям  $\rho(T)$  и  $R_H(T)$ , спектр выбирается на основании подгонки к поверхности Ферми, даваемой ARPES экспериментами и отвечающей допированию  $n_h \approx 2$  [8, 7, 10]. При этом оказывается, что особенность Ван-Хова расположена в точках  $X = (0, \pm\pi), (\pm\pi, 0)$ , а ширина зоны  $W = \varepsilon_F - \varepsilon_M = 1.6$  эВ [7], 2 эВ [8]. Используемый нами спектр имеет в соответствии с экспериментом особенность Ван-Хова, сдвинутую от точки  $X$  в направлении к Г. Ширина зоны  $\varepsilon_{\mathbf{k}}$  отвечает значению  $W \sim 0.7$  эВ. Отметим, что при большем значении этой величины невозможно описать эволюцию спектра в сторону слабо допированного предела, то есть с уменьшением числа дырок [14]. Ниже будет видно, что температурное поведение  $R_H(T)$  сильно зависит от выбора  $\varepsilon_{\mathbf{k}}$ . Поэтому исследование  $\rho(T)$  и  $R_H(T)$  в случае  $\varepsilon_{\mathbf{k}}$ , отличного от ранее рассмотренных, представляется нам существенным.

На рис.2 представлена температурная зависимость  $\rho^{(2)}(T)$ , вычисленного в двухмоментном приближении (6), и  $R_H^{(1,2)}(T)$ , найденного в одномомент-

она слабо отличается от  $\rho^{(2)}(T)$ . Однако с понижением температуры отличие начинает возрастать и при  $T = 70$  К отношение  $\rho^{(2)}/\rho^{(1)} = 0.85$ . Линейная зависимость  $\rho^{(2)}(T)$  в широкой области температур определяется следующим. Благодаря сравнительно малой величине щели  $\Delta = \omega_{\mathbf{Q}}$  ( $\Delta(200$  К)  $\approx 250$  К), в спектре магнонов основной вклад в интеграл столкновений дает рассеяние назад, то есть при электрическом поле, направленном по диагонали  $\Gamma \rightarrow (\pi, \pi)$  зоны Бриллюэна (ЗБ), это переходы между листами ФП, находящимися в первом и третьем квадрантах ЗБ, см. рис.1. Очевидно, что при высоких температурах, когда имеет место изотропизация рассеяния, зависимость  $\rho(T)$  подчиняется линейному закону. При понижении  $T$ , в случае не зависящего от температуры магнитного спектра, процессы рассеяния назад должны вымораживаться, и это могло бы приводить к отклонению от линейности. Однако в 2D случае спектр магнонов в области квазимпульсов, близких к вектору  $\mathbf{Q}$ , сильно смягчается при понижении температуры, в частности, щель  $\Delta$  сначала линейно падает и лишь при  $T < T^* \approx 50$  К выходит на константу (величина  $T^*$  в общем случае зависит от  $I$  и параметра фruстрации  $p$ ). Такое температурное поведение спектра существенно затягивает линейную зависимость  $\rho^{(2)}(T)$  в область низких температур.

Как видно из рис.2 температурные зависимости  $R_H^{(1)}(T)$  и  $R_H^{(2)}(T)$  существенно различны. Величина  $R_H^{(2)}(T)$  качественно воспроизводит экспериментальное поведение коэффициента Холла в ВТСП, который характеризуется законом  $R_H(T) \sim 1/T$ .

Для выяснения сильного отличия  $R_H^{(2)}$  от  $R_H^{(1)}$  в области низких температур сравним неравновесные добавки к одночастичной функции распределения  $g_{\mathbf{k}}^{(1),E}$  и  $g_{\mathbf{k}}^{(2),E}$ , вычисленные соответственно в ОМП и ДМП при температуре  $T = 150$  К и приведенные на рис.3а,б. Функции  $g_{\mathbf{k}}^{(1,2),E}$  представлены линиями постоянного значения для случая электрического поля, направленного вдоль диагонали  $\Gamma \rightarrow (\pi, \pi)$ .

Как видно из рис.1 сильное рассеяние происходит между участками ФП из первого и третьего квадрантов в тех местах, где ФП пересекает границы АФМ ЗБ, то есть линии  $X - X$  (переходы из состояния  $\mathbf{k}_1$  в  $\mathbf{k}_2$  на рис.1). Эти участки соответствуют “горячим” точкам, и рассеяние между ними вносит при низких температурах основной вклад в интегралы столкновений  $P_{ll'}$  вследствие большой разности скоростей  $(\mathbf{v}_{\mathbf{k}} - \mathbf{v}_{\mathbf{k}+\mathbf{q}})^2$  (рассеяние назад) и близости квазимпульса магнонов  $\mathbf{q}$  к АФМ вектору  $\mathbf{Q}$ . В результате “горячим” точкам отвечает малое время релаксации. ДМП позволяет учесть, что проводимость

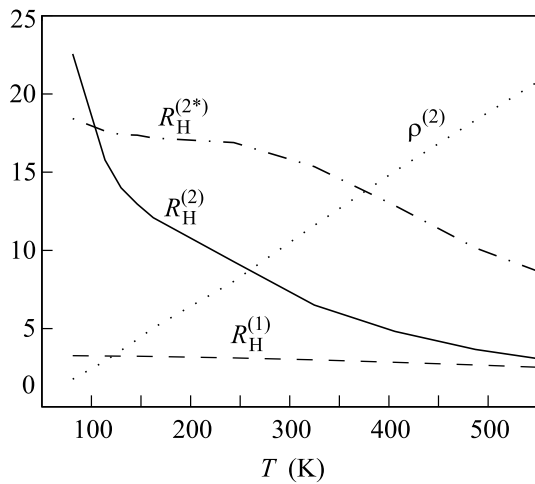


Рис.2. Температурная зависимость электросопротивления  $\rho^{(2)}(T)$  в единицах отношения  $\rho^{(2)}(T)/\rho^{(2)}$  ( $T = 50$  К) и коэффициента Холла  $R_H^{(1)}(T)$  и  $R_H^{(2)}(T)$  в единицах  $R_H(T)/R_H^{(1)}$  ( $T = 150$  К) · 3 для спектра задаваемого коэффициентами (3). Зависимость коэффициента Холла  $R_H^{(2)*}(T)$  отвечает коэффициентам (9) спектра носителей (2)

ном и двухмоментном приближениях. В соответствии с экспериментом  $\rho^{(2)}(T)$  демонстрирует линейную зависимость начиная с низких температур ( $\approx 70$  К). Температурную зависимость  $\rho^{(1)}(T)$  в одномоментном приближении мы не приводим, так как

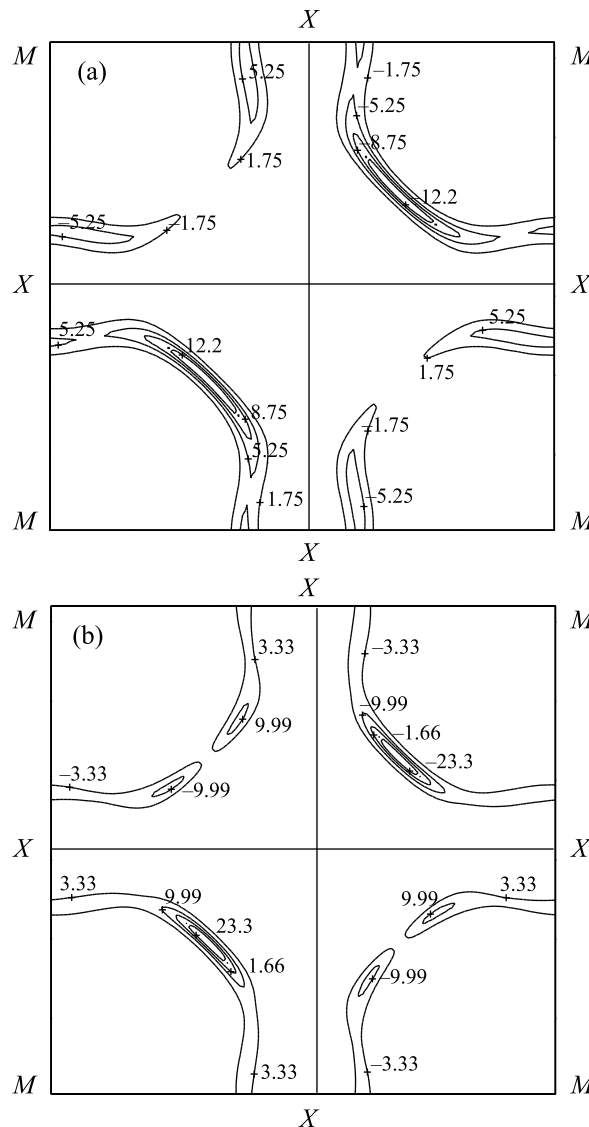


Рис.3. Неравновесная добавка к одночастичной функции распределения  $g_k^E$  (в произвольных единицах) представлена с помощью линий уровня для  $T = 150$  К (электрическое поле направлено по диагонали  $\Gamma \rightarrow (\pi, \pi)$  зоны Бриллюэна): (а) в одномоментном приближении  $g_k^{(1),E}$ ; (б) в двухмоментном приближении  $g_k^{(2),E}$ .

должна определяться участками поверхности Ферми с большим временем релаксации – “холодными” точками, которые в нашем случае соответствуют областям пересечения ФП с диагональю  $(-\pi, -\pi) - (\pi, \pi)$ . Это явно видно из рис.3а и рис.3б, где в “холодных” точках  $g_k^{(2),E}$  в два раза больше, чем  $g_k^{(1),E}$ . Существенно, что при переходе от ОМП к ДМП сильное перераспределение неравновесной плотности  $g_k^E$  происходит также в части  $k$ -пространства, относящегося к участкам ПФ во втором и четвертом квадрантах. Как видно, производные от  $g_k^{(2),E}$  во втором и четвертом

квадрантах  $k$ -пространства возрастают в 3–4 раза относительно ОМП. Можно убедиться, что именно производные  $g_k^{(2),E}$  во втором и четвертом квадрантах являются определяющими для значений холловского полевого члена  $X_k^H$ .

Этим и определяется сильное отличие  $R_H^{(2)}$  от  $R_H^{(1)}$  в области низких температур. С повышением температуры наступает изотропизация рассеяния и вид  $g_k^{(2),E}$  приближается к виду  $g_k^{(1),E}$ , который не зависит от механизма рассеяния и определяется чисто геометрическими факторами, даваемыми только спектром  $\varepsilon_k$ . В результате,  $R_H^{(2)}$  с повышением температуры приближается к  $R_H^{(1)}$ .

Продемонстрируем также, что детальный вид температурной зависимости  $R_H(T)$  существенно зависит от топологии дырочного спектра. На рис.2 штрих-пунктирной линией приведена зависимость  $R_H^{(2)}(T)$  для спектра, который незначительно отличается от ранее использованного и задается коэффициентами

$$\begin{aligned} a_1 &= 1.5, \quad a_2 = 3.0, \quad a_3 = -1.25, \\ a_4 &= -0.3, \quad a_5 = -0.3. \end{aligned} \quad (9)$$

Как видно, новый коэффициент Холла  $R_H^{(2)*}(T)$  (при прежнем значении числа дырок  $n_h = 0.15$ ) имеет тенденцию к насыщению как при высоких, так и при низких температурах. Детали зависимости  $R_H^{(2)*}(T)$  значительно отличаются от  $R_H^{(2)}(T)$ .

В заключение отметим, что представляется необходимым дальнейшее изучение эффекта Холла, в первую очередь, связанное с увеличением числа моментов и с учетом того обстоятельства, что вычеты голых дырок в нижней спин-поляронной зоне отличны от единицы и существенно зависят от квазипульса.

Работа выполнена при поддержке Российского фонда фундаментальных исследований.

1. A. Carrington, A. P. Mackenzie, C. T. Lin, and J. R. Cooper, Phys. Rev. Lett. **69**, 2855 (1992).
2. J. M. Harris, Y. F. Yan, and N. P. Ong, Phys. Rev. **B46**, 14293 (1992).
3. A. Malinowski, M. Z. Cieplak, S. Guha et al., Phys. Rev. **B66**, 104512 (2002).
4. A. Carrington, D. J. C. Walker, A. P. Mackenzie, and J. R. Cooper, Phys. Rev. **B48**, 13051 (1993).
5. H. Y. Hwang, B. Batlogg, H. Takagi et al., Phys. Rev. Lett. **72**, 2636 (1994).
6. T. Nishikawa, J. Takeda, and M. Sato, J. Phys. Soc. Jpn. **63**, 1441 (1994).

7. B. P. Stojkovic and D. Pines, Phys. Rev. **B55**, 8576 (1997).
8. R. Hlubina and T. M. Rice, Phys. Rev. **B51**, 9253 (1995).
9. L. B. Ioffe and A. J. Millis, Phys. Rev. **B58**, 11631 (1998).
10. A. Perali, M. Sindel, and G. Kotliar, Eur. Phys. J. **B24**, 487 (2001).
11. V. J. Emery, Phys. Rev. Lett. **58**, 2794 (1987).
12. V. J. Emery and G. Reiter, Phys. Rev. **B38**, 4547 (1988).
13. F. C. Zhang and T. M. Rice, Phys. Rev. **B37**, 3759 (1988).
14. А. Ф. Барабанов, Р. Хайн, А. А. Ковалев и др., ЖЭТФ **119**, 777 (2001) [JETP **92**, 677 (2001)].
15. A. F. Barabanov, A. A. Kovalev, O. V. Urazaev, and A. M. Belemonuk, Phys. Lett. **A265**, 221 (2000).
16. A. F. Barabanov and V. M. Berezovsky, Phys. Lett. **A186**, 175 (1994); ЖЭТФ **106**, 1156 (1994).
17. А. Ф. Барабанов, Л. А. Максимов, ФММ **29**, 471 (1970).
18. J. Black, D. L. Mills, Phys. Rev. **B9**, 1458 (1974).